



Desenvolvimento de Filmes Finos Baseados em Hexacianoferratos de Ferro e Bismuto com Nanomateriais de Carbono para Aplicações em Dispositivos Armazenadores de Energia

Diego A. Peixoto (PG)1*, Edson Nossol (PQ)1

¹Instituto de Química, Universidade Federal de Uberlândia, Uberlândia, 38400-902, Brasil

*diego93.alves@gmail.com

RESUMO

Neste trabalho foram sintetizados filmes nanocompósitos a base hexacianoferratos de ferro (HCFFe), hexacianoferrato de bismuto (HCFBi) e nanotubos de carbono (NTC) para aplicação em dispositivos armazenadores de energia. Os filmes nanocompósitos foram obtidos pelo método interfacial líquido-líquido em uma única etapa e depositados no substrato de interesse. Os resultados de espectroscopia Raman mostraram a presença dos modos vibracionais característicos dos hexacianoferratos metálicos (HCF), além das bandas referentes aos nanomateriais de carbono (D, G e 2D). Em um sistema de inserção de íons K⁺, o filme de HCFFe/NTC apresentou um valor de capacidade específica de 76 mAh g⁻¹ em 1,06 C enquanto o filme de HCFBi/NTC apresentou um valor de capacidade específica de 37 mAh g⁻¹ em 0,76 C.

Palavras chave: hexacianoferrato de bismuto, hexacianoferrato de ferro, nanotubos de carbono, dispositivos armazenadores de energia.

Introdução

Atualmente, as baterias de íon-lítio se destacam como dispositivos armazenadores energia, dominando o mercado de baterias secundárias devido à sua alta densidade energética e longo ciclo de vida, sendo amplamente utilizadas em veículos elétricos e eletrônicos portáteis.(1,2) No entanto, as baterias de íons de lítio têm desvantagens em termos de segurança, custo de produção e condutividade devido à sua dependência de eletrólitos orgânicos de custo mais elevado em comparação com eletrólitos aquosos. Além disso, a escassez de lítio na natureza acaba limitando a aplicação destas baterias em larga escala. Por estas razões, estão sendo estudadas alternativas complementares às baterias de íonslítio, por exemplo, baterias de íons-sódio, íons-potássio e íonzinco, elementos baratos e mais abundantes na Terra quando comparados ao lítio.(3-5) Existem diversos estudos que reportam resultados interessantes ao utilizar materiais catódicos a base de hexacianoferratos metálicos (HCF) e de compósitos com materiais de carbono em baterias aquosas de íon-sódio e íon-potássio.(6) O caráter zeolítico presente na estrutura desses materiais e de seus análogos possibilita a intercalação de diferentes íons em solução, como por exemplo, Na+, K+ e Li+.(7) Embora os HCF possuam propriedades que os tornam interessantes para uma série de aplicações, estes materiais apresentam limitações devido à sua baixa estabilidade química em meios neutros e básicos. Uma forma de superar essas limitações é através da preparação de compósitos com diferentes materiais a base de carbono, como os nanotubos de carbono (NTC) e o óxido de grafeno reduzido. Esses materiais apresentam condutividade e estabilidade química excepcionais, tornando-os excelentes opções para a elaboração de compósitos eletroquimicamente robustos com hexacianoferratos metálicos em

nanoescala.(8,9) Com base nos resultados encontrados na literatura, acredita-se que as pesquisas relacionadas a utilização dos HCF e de seus compósitos com nanomateriais de carbono para aplicação em novos dispositivos armazenadores de energia sejam extremamente promissoras.

Experimental

Os filmes nanocompósitos (HCFFe/NTC e HCFBi/NTC) foram sintetizados pelo método interfacial líquido-líquido. Para síntese do filme contendo hexacianoferrato de bismuto (HCFBi) incialmente foram preparadas soluções de 10 mL de K₄[Fe(CN)₆].3H₂O e Bi(NO₃)₃.5H₂O, ambas a uma concentração de 1 mmol L⁻¹. Essas soluções foram gotejadas simultaneamente no balão de fundo redondo contendo uma dispersão de 0,30 mg NTC em tolueno. O sistema foi mantido sob agitação magnética por 24 h e após esse período, para remover qualquer tipo de impureza, a fase aquosa do sistema bifásico foi removida e substituída por água destilada. Após a lavagem, o filme formado foi depositado sobre o substrato (ITO). Por fim, o filme foi seco em temperatura ambiente por um período de 12 horas e em seguida seco em estufa a uma temperatura de 120°C por 2 horas. Para a síntese dos filmes contendo hexacianoferrato de ferro (HCFFe) foram preparadas soluções de 10 mL a 1 mmol L-1 de K₃[Fe(CN)₆].3H₂O e FeCl₃. O pH dessas soluções foi corrigido para 2 com a adição de HCl concentrado. Em seguida, essas soluções foram gotejadas simultaneamente no balão contendo a dispersão de NTC. Após 1 h de agitação foi adicionado ao sistema bifásico 20 μL de uma solução de H₂O₂ 0,5 mol L⁻¹ com a finalidade de reduzir os íons Fe³⁺ a Fe²⁺. Depois disso, o sistema ficou sobre agitação por 24 h. Após esse período, o procedimento realizado é semelhante ao que foi feito na síntese dos filmes a base

Resultados e Discussão

Nos espectros Raman (Figura 1) é possível observar as bandas características dos NTC. A banda G, localizada em torno de 1585 cm⁻¹, corresponde a zona de vibrações na rede planar de átomos de carbono sp², enquanto a banda D, localizada em torno de 1350, é o resultado dos processos de espalhamento de primeira ordem dos carbonos sp² gerados por defeitos relacionados aos modos de respiração dos anéis de seis átomos de carbono.(10) A banda 2D, observada em números de onda acima de 2600 cm⁻¹, surge devido a um processo de espalhamento de segunda ordem vinculado a um sobretom da banda D. A presença dos HCF foi confirmada pelas bandas associadas a estrutura desses compostos. As bandas localizadas entre 2000 e 2200 cm⁻¹ são referentes a grupo C≡N coordenado com os íons de ferro (υ(CN)). Além dessa banda, o compósito HCFBi/NTC apresentou bandas localizadas na faixa de 450 a 620 cm⁻¹ e 190 a 380 cm⁻¹. Os sinais da primeira faixa são característicos do estiramento vibracional Fe-C (v(FeC)) e as bandas da segunda faixa são característicos da deformação vibracional Fe-CN (δ(FeCN)).(11,12)

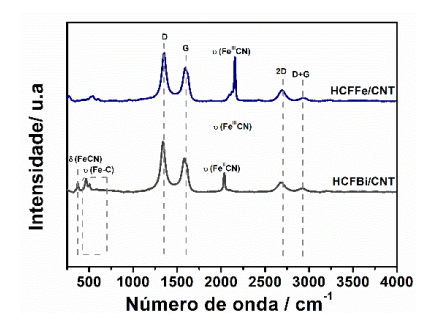


Figura 1. Espectros Raman dos nanocompósitos sintetizados.

O comportamento eletroquímico do filmes nanocompósitos foi estudado através dos testes de voltametria cíclica (Figura 2). Na janela de potencial adotada (-0,2 a 0,6 V) foi observado apenas um par de picos bem definido atribuído ao processo redox do Fe^{II}/Fe^{III}, acompanhado da inserção/extração de e K⁺ na estrutura dos HCF (equações 1 e 2).

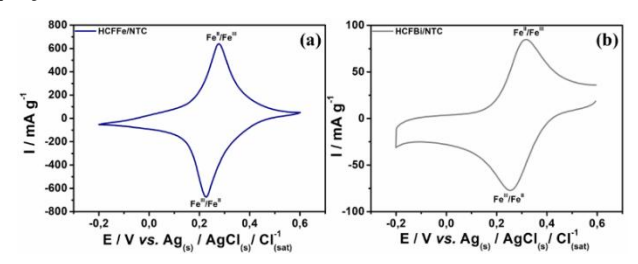


Figura 2. Voltametria cíclica dos filmes de (a) HCFFe/NTC em KC 1 mol L^{-1} em pH= 3 e (b) HCFBi/NTC em KCl 1 mol L^{-1} em pH= 7.

$$AFe^{III}[Fe^{II}(CN)_{6}] + A^{+} + e^{-} \rightleftarrows A_{2} Fe^{II}[Fe^{II}(CN)_{6}] (1)$$

 $ABi^{III}[Fe^{II}(CN)_{6}] \rightleftarrows Bi^{III}[Fe^{III}(CN)_{6}] + A^{+} + e^{-}(2)$

Os filmes nanocompósitos sintetizados foram aplicados como eletrodos de trabalho em medidas de carga e descarga galvanostáticas, com a finalidade de observar o desempenho desses filmes como possíveis candidatos a materiais catódicos para baterias aquosas recarregáveis de inserção de íons K^+ . Analisando os gráficos foi observado que o filme de HCFFe/NTC apresentou um perfil pseudocapacitivo durante o processo de carga e descarga (Figura 3(a)), com um platô em torno de 0,2 V, referente a primeiro par redox do azul da Prússia, enquanto o filme de HCFBi

apresentou um perfil capacitivo (Figura 3(b)). Os valores de capacidade específica obtidos em menores densidade de corrente, principalmente para o material com HCFFe, são relativamente altos para esses filmes nanocompósitos e são condizentes com o valores reportados em trabalhos da literatura que utilizam filmes finos de HCF em baterias aquosas. Esse bom desempenho eletroquímico observado nos filmes sintetizados está associado a diversos fatores, dentre eles a rápida intercalação dos íons K⁺ nos canais abertos da estrutura dos HCF estudados, a presença de uma dispersão homogênea de partículas de tamanho reduzido, que proporciona um maior número de sítios ativos, além de facilitar a difusão dos cátions por caminhos mais curtos e o aumento da condutividade pela interação com os NTC, que facilitam a transferência de elétrons ao diminuir a resistência entre as partículas de HCF.

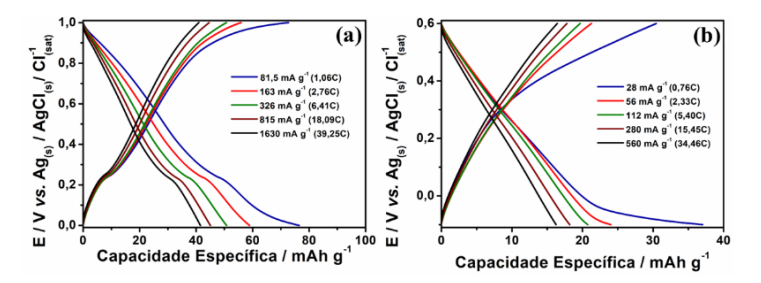


Figura 3. Curvas de carga e descarga em diferentes valores de densidade de corrente para os filmes de (a) HCFFe/NTC e (b) HCFBi/NTC.

Conclusões

O método interfacial líquido-líquido se mostrou eficiente na obtenção dos filmes nanocompósitos a base de HCF e nanomateriais de carbono e isso foi comprovado pelas caracterizações estruturais e eletroquímicas. Os estudos relacionados à aplicabilidade dos filmes nanocompósitos em sistemas de armazenamento de energia mostraram que os materiais sintetizados apresentaram valores de capacidade específica satisfatórios e condizentes com os valores reportados na literatura, para sistemas que envolvem a inserção de íons alcalinos em filmes finos de HCF.

Agradecimentos

Os autores agradecem à: UFU, FAPEMIG, CAPES, CNPq, INCT Nanocarbono e GMIT.

Referências

- 1. Liu, M. et al., Adv. Mater. 2018, 30 (33), 1800561.
- 2. Zeng, X. et al., Adv. Energy Mater. 2019, 9 (27), 1900161.
- 3. Yang, X.; Rogach, A. L. Adv. Energy Mater. 2020, 10 (22), 2000288.
- 4. Liu, Y. et al., ACS Nano. 2021, 15 (1), 1121–1132.
- 5. Tian, Y. et al., Chem. Eng. J. 2022, 430, 132864.
- 6. Zhou, A. et al., Adv. Energy Mater. 2021, 11 (2), 2000943.
- 7. Ma, F. et al., Sci. Bull. 2017, 62 (5), 358–368.
- 8. Husmann, S.; Nossol, E.; Zarbin, A. J. G. Sens. Actuators B Chem. 2014, 192, 782–790.
- 9. Silva, S. C. et al., *Mater. Chem. Phys.* **2020**, 250, 123011.
- 10. Ferrari, A. C.; Basko, D. M. Nat. Nanotechnol. 2013, 8 (4), 235–246.
- 11. Peixoto, D. A. et al., J. Mater. Sci. 2023, 58 (7), 2993–3024.
- 12. Jorio, A.; Saito, R. J. Appl. Phys. 2021, 129 (2), 21102.